

## 2

### Propagação de ondas elásticas em cilindros

#### 2.1

##### Elastodinâmica Linear

As equações que governam o movimento de um corpo sólido, elástico e isotrópico são:

$$\tau_{ij,j} + \rho f_i = \rho \ddot{u}_i \quad (2-1)$$

$$\tau_{ij} = \lambda \varepsilon_{kk} \delta_{ij} + 2\mu \varepsilon_{ij} \quad (2-2)$$

$$\varepsilon_{ij} = \frac{1}{2} (u_{i,j} + u_{j,i}) \quad (2-3)$$

Onde (2-1) é a equação de movimento, (2-2) é a equação constitutiva para um material isotrópico em função das constantes de Lamé e (2-3) é o tensor de deformação.

Substituindo as expressões para as deformações e tensões na primeira equação, obtemos a equação de Navier para um meio isotrópico.

$$(\lambda + \mu) u_{j,ji} + \mu u_{i,jj} + \rho f_i = \rho \ddot{u}_i \quad (2-4)$$

Reescrevendo esta equação usando notação vetorial e sem considerar a força de corpo, temos:

$$(\lambda + \mu) \nabla \nabla \cdot \mathbf{u} + \mu \nabla^2 \mathbf{u} = \rho \ddot{\mathbf{u}} \quad (2-5)$$

Em notação indicial, esta equação representa três equações. Para obter

um conjunto de equações mais simples será utilizada a decomposição de Helmholtz (Graff[14]).

$$\mathbf{u} = \nabla\varphi + \nabla \times \boldsymbol{\psi} \quad \nabla \cdot \boldsymbol{\psi} = 0 \quad (2-6)$$

A equação  $\nabla \cdot \boldsymbol{\psi} = 0$  é chamada "Gauge Condition" e fornece a última condição que é necessária para determinar o campo de deslocamento  $\mathbf{u}$  (Graff [14]).

Substituindo a equação de Helmholtz na equação (2-5) encontra-se duas novas equações em função do potencial escalar  $\varphi$  e do potencial vetorial  $\boldsymbol{\psi}$ , respectivamente. Estas equações representam duas ondas se propagando. A primeira representa uma onda com o vetor deslocamento paralelo ao sentido de propagação (onda longitudinal) e a segunda representa uma onda com o vetor deslocamento transversal ao sentido de propagação (onda transversal).

$$\nabla^2\varphi = \frac{1}{c_L^2} \frac{\partial^2\varphi}{\partial t^2} \quad (2-7)$$

$$\nabla^2\boldsymbol{\psi} = \frac{1}{c_T^2} \frac{\partial^2\boldsymbol{\psi}}{\partial t^2} \quad (2-8)$$

Onde

$$c_L^2 = \frac{\lambda + 2\mu}{\rho} \quad \text{e} \quad c_T^2 = \frac{\mu}{\rho} \quad (2-9)$$

$c_L$  e  $c_T$  são as velocidades de propagação de onda longitudinal e transversal, respectivamente.

Em coordenadas cilíndricas  $\nabla^2\varphi$  e  $\nabla^2\boldsymbol{\psi}$  são representados da seguinte forma:

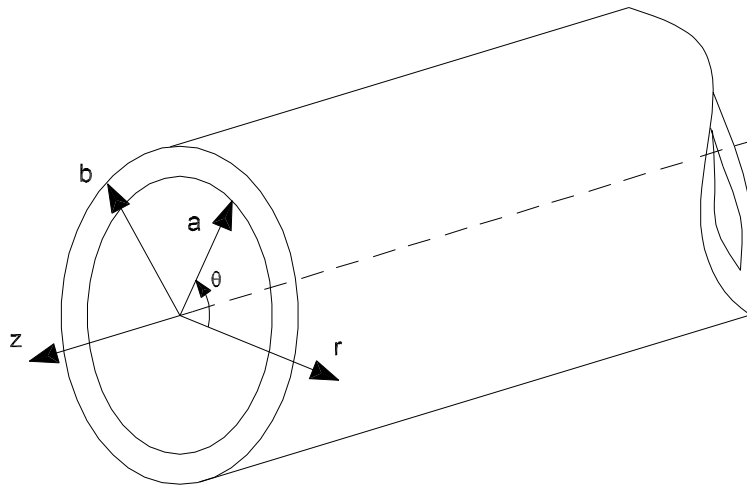


Figura 2.1: Cilindro infinito

$$\nabla^2 \varphi = \frac{\partial^2 \varphi}{\partial r^2} + \frac{1}{r} \frac{\partial \varphi}{\partial r} + \frac{1}{r^2} \frac{\partial^2 \varphi}{\partial \theta^2} + \frac{\partial^2 \varphi}{\partial z^2} \quad (2-10)$$

$$\nabla^2 \boldsymbol{\psi} = \left( \nabla^2 \psi_r - \frac{\psi_r}{r^2} - \frac{2}{r^2} \frac{\partial \psi_\theta}{\partial \theta} \right) \mathbf{e}_r + \left( \nabla^2 \psi_\theta - \frac{\psi_\theta}{r^2} + \frac{2}{r^2} \frac{\partial \psi_r}{\partial \theta} \right) \mathbf{e}_\theta + \nabla^2 \psi_z \mathbf{e}_z \quad (2-11)$$

onde  $\mathbf{e}_r$ ,  $\mathbf{e}_\theta$  e  $\mathbf{e}_z$  são os vetores unitários na direção radial, circunferencial e axial, respectivamente.

A partir das equações (2-8) e (2-11) pode-se resumir as equações para as componentes do potencial vetorial  $\boldsymbol{\psi}$

$$\nabla^2 \psi_r - \frac{\psi_r}{r^2} - \frac{2}{r^2} \frac{\partial \psi_\theta}{\partial \theta} = \frac{1}{c_T^2} \frac{\partial \psi_r^2}{\partial t^2} \quad (2-12)$$

$$\nabla^2 \psi_\theta - \frac{\psi_\theta}{r^2} + \frac{2}{r^2} \frac{\partial \psi_r}{\partial \theta} = \frac{1}{c_T^2} \frac{\partial \psi_\theta^2}{\partial t^2} \quad (2-13)$$

$$\nabla^2 \psi_z = \frac{1}{c_T^2} \frac{\partial^2 \psi_z}{\partial t^2} \quad (2-14)$$

Sendo  $\nabla$  e  $\nabla^2$  definidos em coordenadas cilíndricas como :

$$\nabla = \mathbf{e}_r \frac{\partial}{\partial r} + \mathbf{e}_\theta \frac{1}{r} \frac{\partial}{\partial \theta} + \mathbf{e}_z \frac{\partial}{\partial z}$$

$$\nabla^2 = \frac{\partial^2}{\partial r^2} + \frac{1}{r} \frac{\partial}{\partial r} + \frac{1}{r^2} \frac{\partial^2}{\partial \theta^2} + \frac{\partial^2}{\partial z^2}$$

Em coordenadas cilíndricas, o campo de deslocamentos de acordo com a equação (2-6) pode ser escrito da seguinte forma:

$$u_r = \frac{\partial \varphi}{\partial r} + \frac{1}{r} \frac{\partial \psi_z}{\partial \theta} - \frac{\partial \psi_\theta}{\partial z} \quad (2-15)$$

$$u_\theta = \frac{1}{r} \frac{\partial \varphi}{\partial \theta} + \frac{\partial \psi_r}{\partial z} - \frac{\partial \psi_z}{\partial r} \quad (2-16)$$

$$u_z = \frac{\partial \varphi}{\partial z} + \frac{1}{r} \frac{\partial (r \psi_\theta)}{\partial r} - \frac{1}{r} \frac{\partial \psi_r}{\partial \theta} \quad (2-17)$$

Para resolver estas equações considera-se um cilindro infinito como o mostrado na Figura 2.1, com raios interno e externo  $a$  e  $b$ , respectivamente. Se o cilindro é livre de tensões nas superfícies interna e externa, então as condições de contorno são:

$$\tau_{rr} = \tau_{r\theta} = \tau_{rz} = 0 \quad r = a, b \quad (2-18)$$

## 2.2 Ondas Harmônicas

Considera-se a propagação de ondas harmônicas num cilindro, porém  $\varphi$  e  $\psi$  assumirão a seguinte forma:

$$\varphi = f(r)\Theta_1(\theta)e^{i(k_z z - \omega t)} \quad (2-19)$$

$$\psi_r = h_r(r)\Theta_r(\theta)e^{i(k_z z - \omega t)} \quad (2-20)$$

$$\psi_\theta = h_\theta(r)\Theta_\theta(\theta)e^{i(k_z z - \omega t)} \quad (2-21)$$

$$\psi_z = h_z(r)\Theta_z(\theta)e^{i(k_z z - \omega t)} \quad (2-22)$$

onde  $k_z$  é o número de onda na direção  $z$  e  $\omega$  é a frequência de propagação.

Substituindo a equação (2-19) na equação (2-7) obtemos as seguintes equações:

$$\frac{d^2 f}{dr^2} + \frac{1}{r} \frac{df}{dr} + \left(\alpha^2 - \frac{n^2}{r^2}\right)f = 0 \quad (2-23)$$

$$\frac{d^2 \Theta_1}{d\theta^2} + n^2 \Theta_1 = 0 \quad (2-24)$$

onde  $\alpha^2 = \omega^2/c_L^2 - k_z^2$  e  $n$  tem que ser um valor inteiro ou zero para garantir a continuidade de  $\Theta_1$  e suas derivadas.

A solução da última equação está composta por senos e cossenos com argumento  $n\theta$  e a solução da equação (2-23) está composta por funções de Bessel.

$$f = A Z_n(\alpha_1 r) + B W_n(\alpha_1 r) \quad A, B \text{ ctes} \quad (2-25)$$

onde

$$Z_n(\alpha r) = \begin{cases} J_n(\alpha r) & \text{se } \alpha^2 > 0 \\ I_n(\alpha r) & \text{se } \alpha^2 < 0 \end{cases} \quad W_n(\alpha r) = \begin{cases} Y_n(\alpha r) & \text{se } \alpha^2 > 0 \\ K_n(\alpha r) & \text{se } \alpha^2 < 0 \end{cases} \quad (2-26)$$

sendo:

$J_n \rightarrow$  Função de Bessel de primeira classe

$Y_n \rightarrow$  Função de Bessel de segunda classe

$I_n \rightarrow$  Função de Bessel modificada de primeira classe

$K_n \rightarrow$  Função de Bessel modificada de segunda classe

Soluções similares são obtidas a partir das equações (2-20-2-22). Graff [14] utiliza a seguinte solução para estas equações :

$$\varphi = f(r) \cos(n\theta) \cos(\omega t + k_z z) \quad (2-27)$$

$$\psi_r = h_r(r) \sin(n\theta) \sin(\omega t + k_z z) \quad (2-28)$$

$$\psi_\theta = h_\theta(r) \cos(n\theta) \sin(\omega t + k_z z) \quad (2-29)$$

$$\psi_z = h_3(r) \sin(n\theta) \cos(\omega t + k_z z) \quad (2-30)$$

Onde  $f(r)$  foi definido na equação (2-25). Os termos  $h_r, h_\theta$  e  $h_3$  têm a seguinte forma:

$$h_3 = A_2 Z_n(\beta_1 r) + B_2 W_n(\beta_1 r) \quad (2-31)$$

$$h_r = -h_\theta = A_3 Z_{n+1}(\beta_1 r) + B_3 W_{n+1}(\beta_1 r) \quad (2-32)$$

Nesta equação  $\beta^2 = \omega^2/c_T^2 - k_z^2$ ,  $\alpha_1 = |\alpha|$  e  $\beta_1 = |\beta|$

O campo de deslocamento pode ser obtido substituindo as equações (2-27-2-30) nas equações (2-15-2-17)

$$u_r = \left( f' + (n/r)h_3 + k_z h_r \right) \cos(n\theta) \cos(\omega t + k_z z) \quad (2-33)$$

$$u_\theta = \left( -(n/r)f + k_z h_r - h_3' \right) \sin(n\theta) \cos(\omega t + k_z z) \quad (2-34)$$

$$u_z = \left( -k_z f - h_r' - (n+1)h_1/r \right) \cos(n\theta) \sin(\omega t + k_z z) \quad (2-35)$$

O campo de tensões pode ser obtido substituindo o campo de deslocamento na equação (2-2). Nota-se que este campo de tensões depende de 6 constantes  $A, B, A_2, B_2, A_3, B_3$ . Estas constantes são obtidas a partir das condições de contorno (2-18). Finalmente, o determinante da matriz de coeficientes deste sistema de equações forma a equação geral para ondas em cilindros (Graff [14]).

$$|c_{ij}| = 0 \quad i, j = 1, 2, \dots, 6 \quad (2-36)$$

### 2.3 Espectro de Frequência

O espectro de frequência é formado pela família de curvas cujos pontos  $(\omega, k_z)$  para um  $n$  determinado, satisfazem a equação (2-36). Cada ponto  $(\omega, k_z)$  representa um modo de propagação de uma onda guiada no cilindro e cada curva é chamada de ramo do espectro de frequência. Os modos são calculados assumindo um valor para o parâmetro circunferencial  $n$  e para o número de onda na direção axial  $k_z$ . Estes valores são substituídos na equação anterior e resolvidos para a frequência. Para cada par de valores assumidos podem ser encontradas infinitas raízes. No entanto, calculam-se estas frequências para uma faixa determinada. O perfil de deslocamentos ao longo da espessura da casca para algum dos modos são apresentados no Capítulo 5.

## 2.4 Modos Longitudinais e Torsionais

Os modos Longitudinais e Torsionais são modos axi-simétricos ( $n = 0$ ). Os primeiros se caracterizam por ter um campo de deslocamento com polarização no plano  $(r, z)$  ( $u_\theta = 0$ ). Entretanto, os modos torsionais só contém a componente circunferencial do campo de deslocamento. Desta forma, a equação do espectro destes modos é obtida ao decompor a equação (2-36) em um produto de dois sub determinantes (Graff [14]):

$$D = D_3 D_4 \quad (2-37)$$

Onde  $D_3$  corresponde aos modos longitudinais e  $D_4$  corresponde aos modos torsionais.

As Figuras 2.2 e 2.3 mostram os espectros de frequência longitudinal e torsional respectivamente. Estas figuras correspondem a um cilindro isotrópico de aço e foram calculadas a partir destas equações. Nestes gráficos nota-se o emprego da notação de Rose [15] para identificar o ramo dos modos longitudinais (L) e torsionais (T). Por exemplo, L(0,1) indica o primeiro ramo dos modos longitudinais ( $n = 0$ ).

## 2.5 Modos de Flexão

Os modos de flexão são modos não axi-simétricos ( $n \neq 0$ ). Porém, para cada  $n = 1, 2, \dots$  encontra-se uma quantidade infinita de modos de flexão. Neste caso, o campo de deslocamento dos modos de flexão tem, em geral, componentes nos três eixos ( $u_r \neq u_\theta \neq u_z \neq 0$ ). A equação do espectro para o cálculo destes modos é representada pela equação (2-36). A Figura 2.4 mostra o espectro de frequência de flexão calculado para um cilindro isotrópico de aço ( $n = 1$ ). Neste gráfico emprega-se também a notação de Rose[15] para indicar os ramos dos modos de flexão de primeira ordem ( $n = 1$ ).



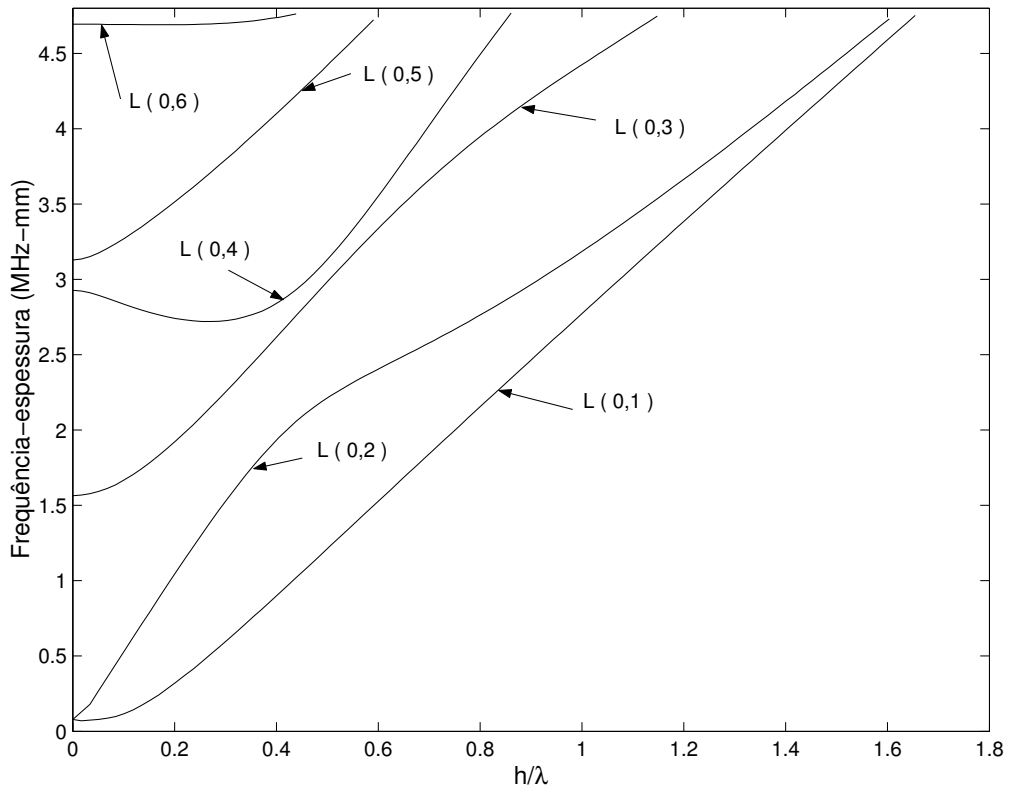


Figura 2.2: Espectro de Frequência Longitudinais de um cilindro isotrópico

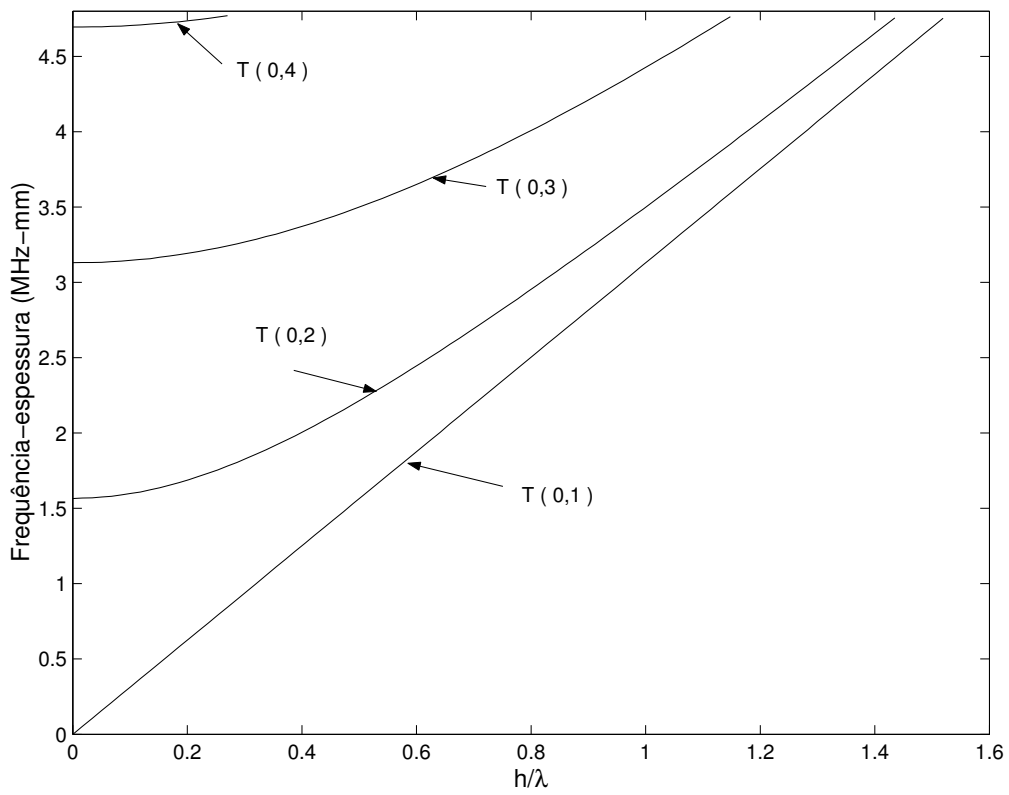


Figura 2.3: Espectro de Frequência Torsionais de um cilindro isotrópico

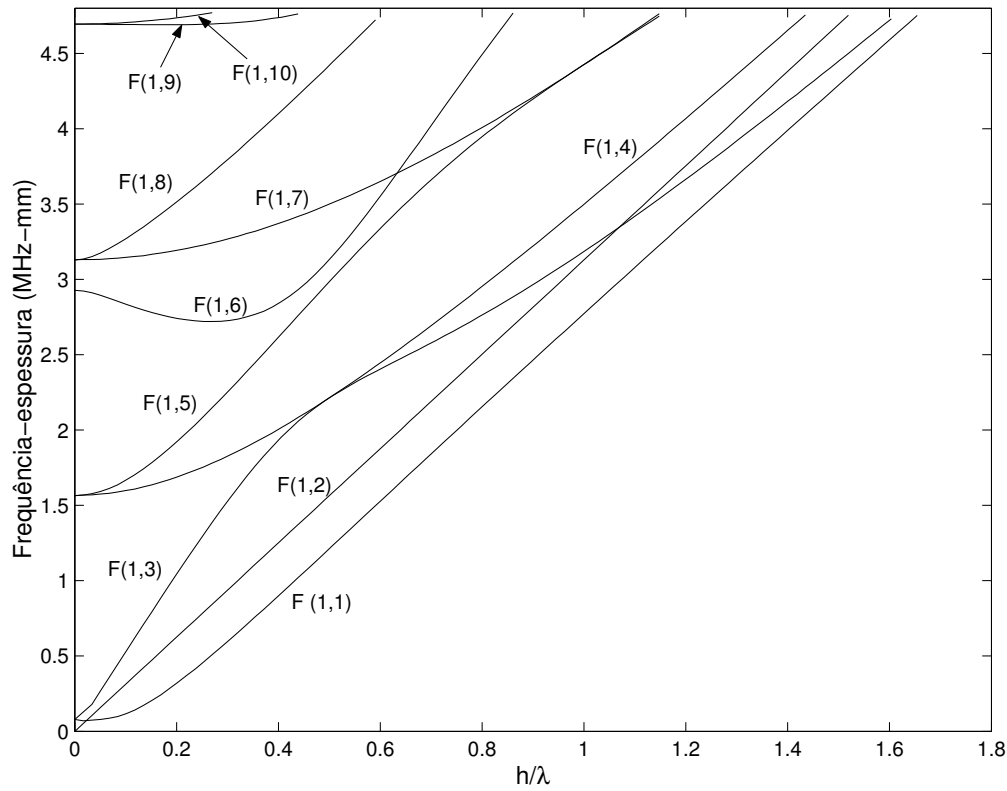


Figura 2.4: Espectro de Frequência de Flexão de um cilindro isotrópico

## 2.6

### Curva de dispersão

Tipicamente, duas classes de gráficos são usadas para representar os fatores básicos que governam a propagação de uma onda guiada num cilindro: a primeira relaciona a frequência com o número de onda e é chamada de espectro de frequência do sistema (item 2.3); a segunda relaciona a velocidade de fase ( $c_p$ ) ou a velocidade de grupo ( $c_g$ ) com a frequência e são chamadas de curvas de dispersão.

A velocidade de fase e a velocidade de grupo são definidas da seguinte forma:

$$c_p = \frac{\omega}{k} \quad (2-38)$$

$$c_g = \frac{d\omega}{dk} \quad (2-39)$$

onde  $\omega$  é a frequência e  $k$  é o número de onda.

As curvas de dispersão podem ser obtidas a partir do espectro de

frequência usando a relação  $\omega = k_z \cdot c$ , ou podem ser derivadas independentemente a partir da equação (2-36). A Figura 2.5 mostra as curvas de dispersão dos modos de flexão para um cilindro isotrópico de aço. Esta figura é equivalente à Figura 2.4, já que foi obtida para o mesmo parâmetro circunferencial ( $n = 1$ ), mas considerando só os primeiros oito ramos.

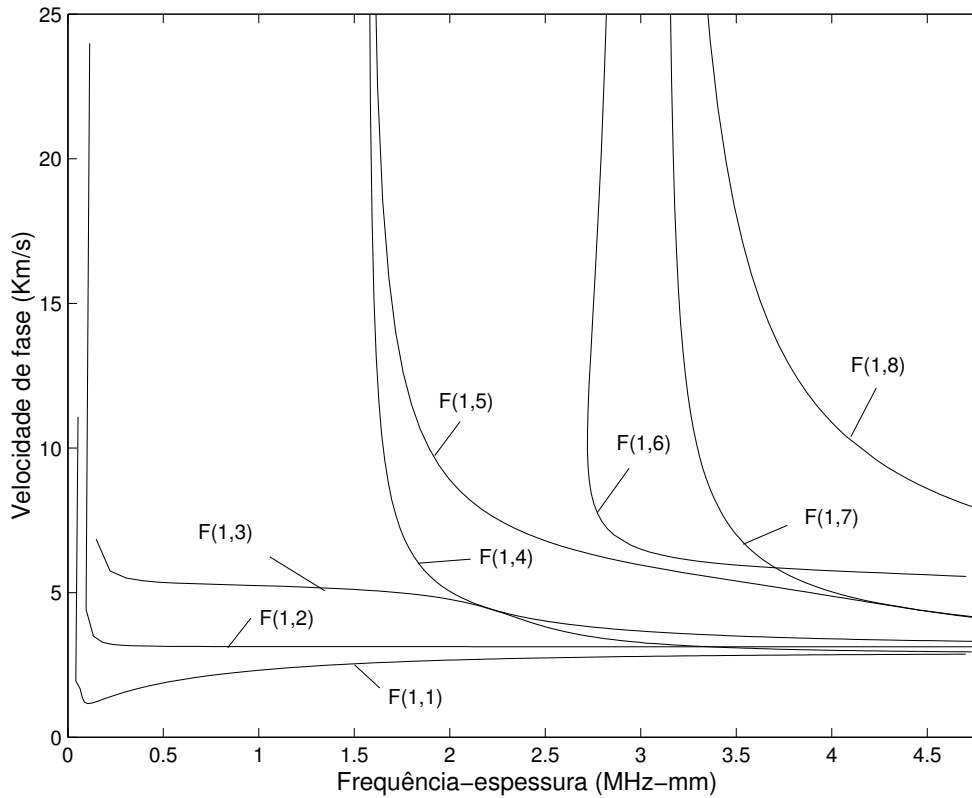


Figura 2.5: Curva de dispersão de ondas de Flexão de um cilindro isotrópico